

## Algorytmy Przetwarzania Obrazów

### Operacje na obrazach (II)

#### WYKŁAD 2

Dla studiów niestacjonarnych 2025/2026

Dr hab. Anna Korzyńska, prof. IBIB PAN

## Operacje na obrazach

### ➤ Operacje punktowe (jednopunktowe):

Jednoargumentowe

$$[q(i, j)] = f[p(i, j)]$$

Wieloargumentowe

$$[q(i, j)] = f[p_1(i, j), p_2(i, j), \dots, p_k(i, j)]$$

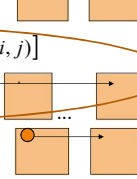


### ➤ Operacje sąsiedztwa (kontekstowe)

$$[q(i, j)] = f[p(i, j), p(i-1, j-1), p(i+1, j+1), \dots]$$

### ➤ Operacje globalne transformaty

$$[q(i, j)] = f[P]$$



## Laboratorium 2

### Zadanie 2

Opracowanie algorytmu i uruchomienie funkcjonalności realizującej operacje logiczne na obrazach monochromatycznych i binarnych:

- not
- and
- or
- Xor

### Uwagi:

- Proszę pamiętać o sprawdzeniu zgodności typów i rozmiarów obrazów stanowiących operandy.
- Proszę pamiętać: w operacjach jednopunktowych dwuargumentowych logicznych na obrazach działania prowadzone są na odpowiednich pikselach obrazów stanowiących argumenty danej operacji. W szczególności działania prowadzone są na bitach o tej samej wadze.
- Proszę o przygotowanie własnych monochromatycznych i binarnych obrazów testowych.
- Dodatkowo proszę umożliwić użytkownikowi zamianę obrazów z maski binarnej na maskę zapisaną na 8 bitach i na odwrót (jeśli w wybranym środowisku i języku jest to możliwe).

## Operacje logiczne

## Operacje logiczne

jednopunktowe dwuargumentowe

Poziom jasności n jest zapisany w kodzie dwójkowym jako kombinacja ośmiu 0 i 1:

Czerń 00000000

Biel 11111111

127 01000001

Operacje logiczne:

NOT      NOT(1)=0; NOT(0)=1

AND     1 AND 1=1; 0 AND 0=0; 1 AND 0=0; 0 AND 1=0

OR      1 OR 1=1; 0 OR 0=0; 1 OR 0=1; 0 OR 1=1

XOR    1 XOR 1=0; 0 XOR 0=0; 1 XOR 0=1; 0 XOR 1=1

### Algorytm powinien zawierać następujące kroki:

1. Sprawdzenie operandów
  1. Czy są obrazami jednokanałowymi
  2. Czy mają identyczny rozmiar w pionie i poziomie
2. Test wyniku obu powyższych warunków:
  1. W przypadku niezgodności komunikat o błędzie i koniec operacji
  2. W przypadku zgodności warunków
    1. przygotowanie tablicy na obraz wynikowy
    2. pętla przeszukującą oba operandy i obraz wynikowy (jako struktur2D lub jako wektor 1D - jeśli język na to pozwala)
      1. Wewnątrz pętli po bajtach/wartościach tablicy wybieramy w pętli bit po bicie lub działamy na całych 8-bitowych konstrukcjach - jeśli język na to pozwala
      2. Koniec operacji
    3. Zapamiętanie obrazu wynikowego
  3. Wyświetlenie wyniku operacji jako komunikat o błędzie lub w postaci obrazu

W logicznych dwuargumentowych operacjach jednopunktowych na obrazach działania prowadzone są na odpowiednich pikselach obrazów stanowiących argumenty danej operacji na bitach o tej samej wadze.

## Operacje na obrazach

- Operacje punktowe (jednopunktowe):
  - Jednoargumentowe  
 $[q(i, j)] = f[p(i, j)]$
  - Wieloargumentowe  
 $[q(i, j)] = f[p_1(i, j), p_2(i, j), \dots, p_k(i, j)]$
- Operacje sąsiedzta (kontekstowe)  
 $[q(i, j)] = f[p(i, j), p(i-1, j-1), p(i+1, j+1), \dots]$
- Operacje globalne transformaty  
 $[q(i, j)] = f[P]$

## OPERACJE SĄSIEDZTWA

Są to operacje, w których na wartość zadanego piksela obrazu wynikowego  $q$  o współrzędnych  $(i, j)$  mają wpływ wartości pikseli **pewnego otoczenia** piksela obrazu pierwotnego  $p$  o współrzędnych  $(i, j)$

8

## Proces liczenia operacji sąsiedztwa

Do operacji sąsiedztwa F dla maski 3x3

```

For i=2 to X-2 do:
  Begin.
    For j=2 to X-2 do
      Begin.
        f new(i,j)=F( f(i-1, j-1), f(i-1, j),
        f(i-1, j+1), f(i, j-1), f(i, j+1),
        f(i+1, j-1), f(i+1, j), f(i+1, j+1))
      End.
    End.
  End.

```

Wynik operacji zależy od wielkości maski, ale głównie od funkcji zdefiniowanej na punkcie i jego otoczeniu.

## Laboratorium 2

### Operacja sąsiedztwa

Proszę dołączyć bibliotekę OpenCV i korzystać z niej przygotowując poszczególne funkcjonalności.

**Zadanie 3 (4,5 p)**  
 Opracowanie algorytmu i uruchomienie funkcjonalności realizującej operację:

- wyglądzania liniowego oparte na typowych maskach wygładzania (uśrednienie, uśrednienie z wagami, filtr gaussowski – przedstawione na wykładzie) przestawionych użytkownikowi jako maski do wyboru,
- wyostrzania liniowego oparte na 3 maskach laplażanowych (podanych w wykładzie) przestawionych użytkownikowi maski do wyboru,
- kierunkowej detekcji krawędzi w oparciu o maski 8 kierunkowych masek Prewitta (podstawowe 8 kierunków) przestawionych użytkownikowi do wyboru,
- detekcji krawędzi operatorami opartymi na dwóch prostopadłych maskach Sobela.

## Biblioteka OpenCV

- OpenCV (Open source computer vision) to biblioteka funkcji przystosowanych do zastosowań w komputerowej wizji, czyli do wykorzystania przy tworzeniu oprogramowania pracującego w trybie czasu rzeczywistego.
- Powstała dla firmy Intel, przeszła w ręce firmy Itseez, która następnie wchłonął Intel.
- Jest biblioteką darmową pod licencją open-source BSD license
- Zawiera ponad 500 algorytmów i około 5000 funkcji – bardzo efektywnych i szybkich
- Jest napisana w C++
- Obsługuje wiele języków programowania pod różnymi systemami operacyjnymi (C++, C#, Python, Java and MATLAB oraz może pracować pod Windows, Linux, Android i Mac OS.).

Original author(s)	Intel Corporation, Willow Garage, Itseez
Initial release	June 2000, 19 years ago
Stable release	4.1.1 / 28 July 2019, 54 days ago
Repository	github.com/opencv/opencv@
Written in	C/C++
Operating system	Cross-platform
Size	>200 MB
Type	Library
License	BSD license
Website	opencv.org@

## Implementacja liczenia histogramu w OpenC

```

#include <cv.h>
#include <highgui.h>

#pragma comment (lib, "cv210")
#pragma comment (lib, "highgui210")
IplImage* image= 0;
IplImage* imgHistogram = 0;
IplImage* gray= 0;

cvHistogram* hist;

int main(){
    image = cvLoadImage("XXXXXXa.jpg",1);
    //określenie rozmiaru histogramu (ilości koszy)
    int size[] = {256};
    //wartość kosza i jego znormalizowana wartość
    float val;
    int norm;
    //zakres jasności
    float range[] = { 0, 256 };
    float* ranges[] = { range };
    //wartość minimalna i maksymalna histogramu
    float min_val = 0, max_val = 0;
    //konwersja wejściowego obrazu kolorowego do 8 bitowego w skali szarości
    gray = cvCreateImage( cvGetSize(image), 8, 1 );
    cvCvtColor( image, gray, CV_BGR2GRAY );
    //Tworzenie okien do pokazania rezultatu

```

Intel Processing Library

```

cvNamedWindow("original",1);
cvNamedWindow("gray",1);
cvNamedWindow("histogram",1);

//obrazy ktorych zostanie obliczony histogram
IplImage* images[] = { &gray };
//Tworzenie okien do pokazania rezultatu
// przygotowanie pustego histogramu
hist = cvCreateHist( 1, size, CV_MHIST_ARRAY, ranges,1 );
// obliczenie histogramu z obrazow
cvCalcHist( images, hist, 0, NUL);
// znalezienie minimalnej i maksymalnej wartosci histo
cvGetMinMaxHistValue( hist, &min_val, &max_val );

// tworzenie 8bitowego obrazu do pokazania histogramu
imgHistogram = cvCreateImage(cvSize(256, 50), 8,1);
// wypełnienie go bialym kolorem
cvRectangle(imgHistogram, cvPoint(0,0), cvPoint(256,50),
CV_RGB(255,255,255),CV_FILLED);

//rysowanie histogramu jasnosci pikseli znormalizowanego od 0 do 50
for(int i=0; i < 256; i++){
    val = cvQueryHistValue_1D( hist, i);
    norm = cvRound(val*50/max_val);
    cvLine(imgHistogram, cvPoint(i,50), cvPoint(i,50-norm),CV_RGB(0,0,0));
}

//pokazanie okien z rezultatem
cvShowImage( "original", image );
cvShowImage( "gray", gray );
cvSaveImage( "histogram", imgHistogram );
// zapis obrazu histogramu do pliku
cvSaveImage("histogram.jpg",gray);
cvWaitKey();

return 0;
}

```

```

* @function EqualizeHist_Demo.cpp
* @brief Demo code for equalizeHist function
* @author OpenCV team

#include "opencv2/imgcodecs.hpp"
#include "opencv2/highgui.hpp"
#include "opencv2/imgproc.hpp"
#include <iostream>
using namespace cv;
using namespace std;

/**
 * @function main
 */
int main( int argc, char** argv )
{
    //! [Load image]
    CommandLineParser parser( argc, argv, "@{input | xxxx| input image}" );
    Mat src = imread(samples::findFile( parser.getString( "@{input}" ),
        IMREAD_COLOR );
    if( src.empty() )
    {
        cout << "Could not open or find the image!\n" << endl;
        cout << "Usage: " << argv[0] << "<input image>" << endl;
        return -1;
    }

    //! [Apply Histogram Equalization]
    equalizeHist( src, dst );
    //! [Display results]
    imshow( "Source image", src );
    imshow( "Equalized Image", dst );
    //! [Wait until user exits the program]
    waitKey();
    //! [Wait until user exits the program]
    return 0;
}

OpenCV has a function to do
this, cv2.equalizeHist()

```

## OpenCV dla Python

- Instalacja:
  - pip install **numpy** (niezbędne do działania openCV ze względu na obliczenia macierzowe obrazów)
  - pip install **opencv-python**
- Wczytanie:
  - import cv2 as cv
- Test:
  - print( cv.\_\_version\_\_ )

## OpenCV dla C++

- Opcja 1:
  - #include "opencv2/core/core.hpp"
  - cv::Mat H = cv::findHomography(points1, points2, CV\_RANSAC, 5);
- Opcja 2:
  - #include "opencv2/core/core.hpp"
  - using namespace cv;
  - Mat H = findHomography(points1, points2, CV\_RANSAC, 5);

## OpenCV dla Java

- import org.opencv.core.Core;
- import org.opencv.core.CvType;
- import org.opencv.core.Mat;
- ulokowanie pliku opencv-300.jar w katalogu \opencv\build\java
- a biblioteki opencv\_java3xx.dll library w katalogu: \opencv\build\java\x64 (64-bitowy system) lub \opencv\build\java\x86 (32-bitowy system).

## OpenCV.js

- Ładowanie biblioteki:
 

```
<script src="opencv.js"
type="text/javascript"></script>
```
- Po załadowaniu jest gotowy do użycia:
 

```
imgElement.onload = function() {
    let mat = cv.imread(imgElement);
    cv.imshow('canvasOutput', mat);
    mat.delete();
};
```

## Laboratorium 4

### Zadanie 1

Opracowanie algorytmu i uruchomienie funkcjonalności realizującej operacje:

- wygładzania liniowego oparte na typowych maskach wygładzania (średnienie, uśrednienie z wagami, filtr gaussowski – przedstawione na wykładzie) przedstawionych użytkownikowi jako maski do wyboru,
 

0	1	0
1	1	1
0	1	0

a	b	c
d	e	f
g	h	i

1	2	1
2	5	2
1	2	1
- wystrzania liniowego oparte na 3 maskach laplasjanowych (podanych w wykładzie) przedstawionych użytkownikowi maski do wyboru,
 

0	1	0
-1	-1	-1
1	-4	1
0	1	0

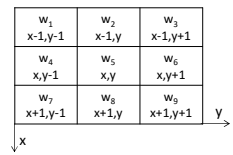
-1	1	-1
-1	8	-1
-1	-1	-1

-1	2	-1
2	-4	2
-1	2	-1
- kierunkowej detekcji krawędzi w oparciu o maski 8 kierunkowych masek Prewitta (podstawowe 8 kierunków) przedstawionych użytkownikowi do wyboru,
- detekcji krawędzi operatorami opartymi na maskach Sobela

Wybór sposobu uzupełnienia marginesów/brzegów w operacjach sąsiedztwa według zasady wybranej spośród następujących zasad:

wypełnienie ramki wybraną wartością stałą n narzuconą przez użytkownika:  
**BORDER\_CONSTANT**  
 wycielenie ramki według **BORDER\_REFLECT**  
 wycielenie ramki według **BORDER\_WRAP**

## Operacje wygładzania



Filtracja liniowa (metody *konwolucyjne*, tzn. uwzględniające pewne otoczenie przetwarzanego piksela):

$$g(x, y) = \sum_{k=1}^n w_k f_k(x, y)$$

n - liczba punktów (pikseli) otoczenia wraz z pikselem przetwarzanym  
 $f(x, y)$  - wartość piksela o współrzędnych x, y obrazu pierwotnego  
 $g(x, y)$  - wartość piksela o współrzędnych x, y obrazu wynikowego  
 $w_k$  - waga k-tego piksela otoczenia

20

## Wygładzanie

$$K = \frac{1}{\text{ksize.width} * \text{ksize.height}}$$

- Python:  
`cv2.blur(src, ksize[, dst[, anchor[, borderType]]]) → dst`
- C++  
`void blur(InputArray src, OutputArray dst, Size ksize,  
 Point anchor=Point(-1,-1),  
 int borderType=BORDER_DEFAULT )`
- JS  
`cv.blur(src, dst, ksize, anchor, cv.BORDER_DEFAULT);`

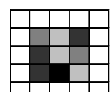
## Argumenty

Argumenty wejściowe:

- src – obraz wejściowy
- ksize – jądro przekształcenia
- anchor – punkt zaczepienia jądra przekształcenia
- dst – obraz wyjściowy
- borderType – określa postępowanie z pikselami brzegowymi

## Metody operacji na pikselach wchodzących w skład skrajnych kolumn i wierszy

- Wartości pikseli są nieokreślone (xxxxxxxxxx)
- Pozostawienie wartości pikseli bez zmian
- Nadanie pikselom wartości arbitralnie zadanych przez użytkownika (np. same wartości „0”, „15”, „10” itd.)
- Operacje z zastosowaniem kolumn i wierszy pomocniczych (zdublowanie (powiększenie) -skrajnych wierszy i kolumn)
- Operacje z wykorzystaniem pikseli z **istniejącego** sąsiedztwa.
  - Lewa skrajna kolumna (oprócz pikseli górnego i dolnego rogu) – kierunki 0,1,2,6,7,
  - Lewa skrajna kolumna piksel w górnym rogu – kierunki 0, 6, 7,
  - Lewa skrajna kolumna (piksel w dolnym rogu) – kierunki 0,1,2,
  - Prawa skrajna kolumna (oprócz pikseli górnego i dolnego rogu) – kierunki 2,3,4,5,6,
  - Prawa skrajna kolumna piksel w górnym rogu – kierunki 4,5,6,
  - Prawa skrajna kolumna piksel w dolnym rogu – kierunki 2,3,4,
  - Górny skrajny wiersz (oprócz pikseli z lewego i prawego rogu) – kierunki 4,5,6,7,0
  - Dolny skrajny wiersz (oprócz pikseli z lewego i prawego rogu) – kierunki 0,1,2,3,4.



## Wartości brzegowe

- Wiele funkcji (klas) w OpenCV przyjmuje jako argument wejściowy zmienną określającą jak należy postępować z pikselami brzegowymi
- Typowo jest to parametr **borderType**

```
/*
 * Various border types,
 * image boundaries are denoted with '|'
 */
* BORDER_REPLICATE: aaaaaa|abcdefgh|hhhhhh
* BORDER_REFLECT: fedcba|abcdefgh|hgfedcb
* BORDER_REFLECT_101: gfedcb|abcdefgh|gfedcba
* BORDER_WRAP: cdefgh|abcdefgh|abcdefg
* BORDER_CONSTANT: iiиии|abcdefgh|iiиии
  with some specified 'i' */
```

## Uniwersalny filtr konwolucyjny w OpenCV: filter2D()

```
void cv::filter2D (InputArray src,
                  OutputArray dst,
                  int ddepth,
                  InputArray kernel,
                  Point anchor = Point(-1,-1),
                  double delta = 0,
                  int borderType = BORDER_DEFAULT
                )
```

Python:

```
dst = cv.filter2D(src, ddepth, kernel[, dst[, anchor[, delta[, borderType]]]])
```

## Operacje wyostrzania i detekcji krawędzi

Metoda: maska filtracji górnoprzepustowej(FG).

W wyostrzaniu stosuje się metody numeryczne aproksymujące pochodną.

### Zadanie wyostrzania:

- podkreślenie na obrazie konturów obiektów
- podkreślenie na obrazie punktów informatycznych (np. wierzchołki dla wielokątów, zakończenia, skrzyżowania, rozgałęzienia linii dla rysunków technicznych, wykresów lub pisma).

**wyostrzania: wydobycie i uwypuklenie krawędzi obiektu.**

26

**Deketkcja** (wykrywanie) krawędzi (edge detection)  
Jest to technika segmentacji obrazu, polegająca na znajdowaniu pikseli krawędziowych przez sprawdzanie ich sąsiedztwa.

### Krawędź

Zbiór pikseli na krzywej mający taką właściwość, że piksele w ich sąsiedztwie, lecz po przeciwnych stronach krzywej mają różne poziomy jasności.

### Cel detekcji

znalezienie lokalnych nieciągłości w poziomach jasności obrazu oraz granic obiektów zawartych w obrazie.

27

## Cyfrowa wersja gradientu

Pochodna pionowa  $G_x$  funkcji  $f(x,y)$

$$\begin{aligned} G_x &\stackrel{\text{def}}{=} [f(x+1,y-1) + 2f(x+1,y) + f(x+1,y+1)] - \\ &\quad [f(x-1,y-1) + 2f(x-1,y) + f(x-1,y+1)] \end{aligned}$$

	$y-1$	$y$	$y+1$
$x-1$	-1	-2	-1
$x$	0	0	0
$x+1$	1	2	1

Pochodna pozioma  $G_y$  funkcji  $f(x,y)$

$$\begin{aligned} G_y &\stackrel{\text{def}}{=} [f(x-1,y+1) + 2f(x,y+1) + f(x+1,y+1)] - \\ &\quad [f(x-1,y-1) + 2f(x,y-1) + f(x+1,y-1)] \end{aligned}$$

	$y-1$	$y$	$y+1$
$x-1$	-1	0	1
$x$	-2	0	2
$x+1$	-1	0	1

$$G(x,y) = \sqrt{G_x^2 + G_y^2}$$

28

## Cyfrowa wersja laplasjanu

$$L(x,y) = [f(x+1,y) + f(x-1,y) + f(x,y+1) + f(x,y-1) - 4f(x,y)]$$

	$y-1$	$y$	$y+1$
$x-1$	0	1	0
$x$	1	-4	1
$x+1$	0	1	0

Własności:

Gradient: wrażliwy na intensywność zmiany; używany tylko do detekcji krawędzi;  
Laplasjan: podaje dodatkową informację o położeniu piksela względem krawędzi (po jasnej czy po ciemnej stronie).

**Uwaga:** Dla operacji wyostrzania współczynnik maski **K=1**

29

## Laplasjany



Dyskretna forma drugiej pochodnej

0	-1	0	-1	-1	-1	1	-2	1	-1	-1	-1	0	-1	0
-1	4	-1	-1	8	-1	-2	4	-2	-1	9	-1	-1	5	-1
0	-1	0	-1	-1	-1	1	-2	1	-1	-1	-1	0	-1	0



30

## Laplasjan/ogólny filtr

$$\begin{bmatrix} 0 & 1 & 0 \\ 1 & -4 & 1 \\ 0 & 1 & 0 \end{bmatrix}$$

- Python:  
`cv2.Laplacian(src, ddepth[, dst[, ksize[, scale[, delta[, borderType]]]]]) → dst`
- C++:  
`void Laplacian(InputArray src, OutputArray dst,  
int ddepth, int ksize=1, double scale=1,  
double delta=0, int borderType=BORDER_DEFAULT )`
- JS:  
`cv2.Laplacian(src, dst, cv.CV_8U, ksize, scale, 0,  
cv.BORDER_DEFAULT);`  
-----  
`cv2.filter2D(src, ddepth, kernel[, dst[, anchor[, delta[,  
borderType]]]]) → dst`

## Metody skalowania tablic obrazów wynikowych

Cel skalowania: sprowadzanie wartości pikseli do zakresu  $[0, (M-1)]$

### Metoda proporcjonalna

$$g'(x,y) = \frac{g(x,y) - g(x,y)_{\min}}{g(x,y)_{\max} - g(x,y)_{\min}} \cdot (M-1)$$

Własność:

Równomierne przeskalowanie wszystkich pikseli obrazu.  
Końcowy efekt: obraz z zakresu  $[0, (M-1)]$

32

### Metoda trójwartościowa

$$g'(x,y) = \begin{cases} 0 \text{ dla } g(x,y) < 0 \\ E[(M-1)/2] \text{ dla } g(x,y) = 0 \\ M-1 \text{ dla } g(x,y) > 0 \end{cases}$$

Zastosowanie  
obrazy o jednolitym tle i dobrze widocznych obiektach - np.  
obrazy binarne. Efekt: czarno-biała krawędź na szarym tle.

### Metoda obcinająca

$$g'(x,y) = \begin{cases} 0 \text{ dla } g(x,y) < 0 \\ g(x,y) \text{ dla } 0 \leq g(x,y) \leq M-1 \\ M-1 \text{ dla } g(x,y) > M-1 \end{cases}$$

33

## Uniwersalny filtr konwolucyjny w OpenCV: filter2D()

```
void cv::filter2D (InputArray src,
                  OutputArray dst,
                  int ddepth,
                  InputArray kernel,
                  Point anchor = Point(-1,-1),
                  double delta = 0,
                  int borderType = BORDER_DEFAULT
                )
```

Python:  
`dst = cv.filter2D(src, ddepth, kernel[, dst[, anchor[,  
delta[, borderType]]]])`

## Ogólnie – filtr 2D i laplasian

Argumenty wejściowe: obraz, rozmiar otoczenia

- Python:  
`cv2.filter2D(src, ddepth, kernel[, dst[, anchor[, delta[, borderType]]]]) → dst`
- C++:  
`void filter2D(InputArray src, OutputArray dst, int ddepth,  
InputArray kernel, Point anchor=Point(-1,-1),  
double delta=0, int borderType=BORDER_DEFAULT)`
- JS:  
`cv.filter2D(src, dst, cv.CV_8U, cv.Mat.eye(3, 3, cv.CV_32FC1),  
anchor, 0, cv.BORDER_DEFAULT);`

## Argumenty – filtr 2D i laplasian

- Argumenty wejściowe:
  - src – obraz wejściowy
  - ddepth – głębokość obrazu wyjściowego ( $ddepth = -1$  dla zachowania wartości z obrazu wejściowego)
  - kernel – jądro przekształcenia
  - anchor – punkt zaczepienia jądra przekształcenia
  - delta – (opcjonalnie) stała dodana do wartości obrazu
  - dst – obraz wyjściowy
  - borderType – określa postępowanie z pikselami brzegowymi
  - scale – (opcjonalne) określenie liczby przez którą mnozymy w celu przeskalaowania

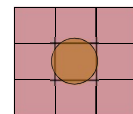
## Laboratorium 4

### Zadanie 4 (1 p)

Opracowanie algorytmu i uruchomienie aplikacji realizującej uniwersalną operację medianową opartą na otoczeniu 3x3, 5x5, 7x7, (9x9?) zadawanym w sposób interaktywny (wybór z list, przesuwanie baru lub wpisanie w przygotowane pole). Zastosować opcjonalnie trzy metody operacji na brzegowych pikselach obrazu jak w zadaniu 3.

## Mediana i pozostałe filtry statystyczne

0	0	0	0
1	3		
0	2	3	3
2	3	3	1



0	1
2	3

1, 2, 2, 4, 5, 6, 7, 8, 9  
0, 0, 0, 0, 1, 1, 2, 3 mediana=0, min=0, max=3, najbardziej prawdopodobna=0  
0, 0, 0, 0, 1, 2, 3, 3 mediana=1, min=0, max=3, najbardziej prawdopodobna=0  
0, 0, 1, 1, 2, 2, 3, 3 mediana=2, min=0, max=3, najbardziej prawdopodobna=3  
0, 1, 1, 2, 3, 3, 3, 3 mediana=3, min=0, max=3, najbardziej prawdopodobna=3

38

## Filtracja medianowa

scr – obraz źródłowy;  
ksize – rozmiar otoczenia mediany  
dst – obraz wynikowy

- Python:  
`cv2.medianBlur(src, ksize[, dst]) → dst`
  - C++  
`void medianBlur(InputArray src, OutputArray dst, int ksize)`
  - JS  
`Cv.MedianBlur(src, dst, ksize);`
  - Java  
`Imgproc.medianBlur(src, dst, 5);`
- Funkcja działa na obrazach monochromatycznych i kolorowych

## Metoda specjalnego gradientu

Stosowana w przypadkach, gdy metody filtracji górnoprzepustowej (FG) powodują wzmacnianie zakłóceń w obszarach leżących wewnętrz w konturu.

Zasada

Krawędź uznana jest za istniejącą, jeśli wartość gradientu intensywności w pewnych punktach przekracza ustalony próg. Metody aproksymacji: **Robertsa, Sobela, Prewitta, Canny**.

f <sub>0</sub>	f <sub>1</sub>	f <sub>2</sub>
f <sub>3</sub>	f <sub>4</sub>	f <sub>5</sub>
f <sub>6</sub>	f <sub>7</sub>	f <sub>8</sub>

Oznaczenia pikseli:

40

### Metoda Robertsa

f <sub>0</sub>	f <sub>1</sub>	f <sub>2</sub>
f <sub>3</sub>	f <sub>4</sub>	f <sub>5</sub>
f <sub>6</sub>	f <sub>7</sub>	f <sub>8</sub>

(i,j) —

$$R(i,j) = \sqrt{(f_4 - f_8)^2 + (f_7 - f_5)^2}; \quad \alpha = -\frac{\pi}{4} + tg^{-1}\left(\frac{f_7 - f_5}{f_4 - f_8}\right)$$

gdzie:  
 $R(i,j)$  - specjalny gradient w punkcie (i,j)  
 $\alpha$  - kierunek gradientu intensywności.

### Metoda Sobela

dwie składowe gradientu:

$$\begin{aligned} S_x &= (f_2 + 2f_5 + f_8) - (f_0 + 2f_3 + f_6) \\ S_y &= (f_6 + 2f_7 + f_8) - (f_0 + 2f_1 + f_2) \\ S(x,y) &= \sqrt{S_x^2 + S_y^2} \end{aligned}$$

41

## Maski konwolucyjne do konstrukcji operatorów krawędziowych

1	0
0	-1

G<sub>x</sub>

0	-1
1	0

G<sub>y</sub>

-1	0	1
-2	0	2
-1	0	1

Sobel:

-1	-2	-1
0	0	0
1	2	1

G<sub>x</sub> G<sub>y</sub>

1	0	-1
1	0	-1
1	0	-1

Prewitt:

1	1	1
0	0	0
-1	-1	-1

G<sub>x</sub> G<sub>y</sub>

42

## Operatory krawędziowania

Konstruowane przez nieliniową kombinację dwóch prostopadłych kierunków gradientu (liniowych transformacji) dokładnej  
przybliżonej

$$G = \sqrt{Gx^2 + Gy^2}$$

Robertsa

Gx	1	0	lub	-1	0
	0	-1		0	1
	0	1	lub	0	-1
Gy	-1	0		1	0

Sobela

Gx	1	0	-1	-1	0	1
	2	0	-2	lub	0	2
	1	0	-1		0	1
	1	2	1	-1	-2	-1
Gy	0	0	0	lub	0	0
	-1	-2	-1		1	2

## Filtry i operatory Robertsa



G <sub>x</sub>	(1)	0	lub	(-1)	0
	0	-1		0	1
	0	1	lub	0	-1

G <sub>y</sub>	-1	0		1	0
	-1	-2	-1		1

$$G = \sqrt{Gx^2 + Gy^2}$$



44

## Operator oparty na maskach Prewitta

Filtры киркуковые Prewitta

Wschód	Poludniowy wschód	Poludnie	Poludniowy zachód
-1 0 1	-1 -1 0	-1 -1 -1	0 -1 -1
-1 0 1	-1 0 1	0 0 0	1 0 -1
-1 0 1	0 1 1	1 1 1	1 1 0
E	SE	S	SW
Dokładny	$G = \sqrt{Gx^2 + Gy^2}$	Przybliżony	$G =  Gx  +  Gy $
W	NW	N	NE
1 0 -1	1 1 0	1 1 1	0 1 1
1 0 -1	1 0 -1	0 0 0	-1 0 1
1 0 -1	0 -1 -1	-1 -1 -1	-1 -1 0
Zachód	Północny zachód	Północ (N)	Północny wschód

Ten operator należy opracować indywidualnie

## Filtry kierunkowe Sobela

Wschód	Poludniowy wschód	Poludnie	Poludniowy zachód
-1 0 1	-2 -1 0	-1 -2 -1	0 -2 -1
-2 0 2	-1 0 1	0 0 0	1 0 -1
-1 0 1	0 1 2	1 2 1	1 2 0
E	SE	S	SW
W	NW	N	NE
1 0 -1	2 1 0	1 2 1	0 1 2
2 0 -2	1 0 -1	0 0 0	-1 0 1
1 0 -1	0 -1 -2	-1 -2 -1	-2 -1 0
Zachód	Północny zachód	Północ (N)	Północny wschód

## Filtry kierunkowe rzeźbiące

Wschód	Poludniowy wschód	Poludnie	Poludniowy zachód
-1 0 1	-1 -1 0	-1 -1 -1	0 -1 -1
-1 1 1	-1 1 1	0 1 0	1 1 -1
-1 0 1	0 1 1	1 1 1	1 1 0
E	SE	S	SW
W	NW	N	NE
1 0 -1	1 1 0	1 1 1	0 1 1
1 1 -1	1 1 -1	0 1 0	-1 1 1
1 0 -1	0 -1 -1	-1 -1 -1	-1 -1 0
Zachód	Północny zachód	Północ (N)	Północny wschód

## Operator Sobela

```
void cv::Sobel (InputArray src,
                OutputArray dst,
                int ddepth,
                int dx,
                int dy,
                int kszie = 3,
                double scale = 1,
                double delta = 0,
                int borderType = BORDER_DEFAULT
            )
```

```
Python:
dst= cv.Sobel(src, ddepth, dx, dy, dst, kszie, scale, delta,
              borderType)]))
```

## Operator Sobela

dx – rząd  
pochodne po x  
dy – rząd  
pochodne po y

```
Python:
dst = cv.Sobel(src, ddepth, dx, dy, dst, ksize[, scale[, delta[, borderType]]])
    )

C++
void cv::Sobel (InputArray src,
               OutputArray dst,
               int ddepth,
               int dx,
               int dy,
               int ksize = 3,
               double scale = 1,
               double delta = 0,
               int borderType = BORDER_DEFAULT
)
```

## Laboratorium 2

### Zadanie 4 (1p)

Opracowanie algorytmu i uruchomienie aplikacji realizującej uniwersalną operację medianową opartą na otoczeniu 3x3, 5x5, 7x7, (9x9) zadawanym w sposób interaktywny (wybór z list, przesuwanie baru). Zastosować powyższych metod uzupełniania brzegowych pikselach obrazu, dając użytkownikowi możliwość wyboru, jak w zadaniu 1.

### Zadanie 5 (0,5)

Implementacji detekcji krawędzi operatorem Cannyego.

## Operator Canny-ego

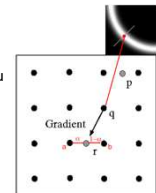
Wielostopniowy algorytm detekcji krawędzi zaproponowany przez twórcę teorii *Computational theory of edge detection* John F. Canny w 1986 r. Jego działanie oparte jest o znane detektory krawędzi (Robertsa, Sobela / Prewitta) i **progowanie i śledzenia z histerezą**, które optymalizuje wynik wyrzucając krawędzie rozmyte, nachylone pod kątami niewiele odchylonymi od wcześniej wykrytych, zapobiegając przerwaniu krawędzi w miejscach utraty kontrastu, itp..



1986. *A computational approach to edge detection*, IEEE Transactions on Pattern Analysis and Machine Intelligence, vol. 8, 1986, pp. 679–698

## Etapy działania operatora Canny-ego

- Zamiana obrazu kolorowego do monochromatycznego w odcieniach szarości
- Rozmazywanie filtrem gaussowskim o zadanych parametrach:  $\sigma$
- Obliczenie gradientu Sobele/Prewitta i kierunku gradientu według Robertsa
- Wyłamywanie lokalnych nie maksymalnych gradientów w obrazie gradientu celem otrzymywania cienkiej linii
  - Dokonanie podwójnego progowania według zadanych parametrów  $T_{min}$  i  $T_{max}$ :
  - $< T_{min}$  - brak krawędzi,
  - $> T_{max}$  - silne krawędzie
  - $T_{min} \leq T \leq T_{max}$  - krawędzie słabe
  - Wykonanie śledzenia krawędzi opartego na histerezie w celu ich uciążlenia: słabe krawędzie będące przedłużeniem silnych są dołączane, pozostałe są oznaczane do czyszczenia
- Wyczyszczenie krawędzi



## Implementacje

### Język C

```
void cv::Canny(InputArray image,
               OutputArray edges,
               double threshold1,
               double threshold2,
               int apertureSize = 3,
               bool L2gradient = false
)
```

- `blur(src_gray, detected_edges, Size(3,3));`
- `Canny(detected_edges, detected_edges, lowThreshold, highThreshold*ratio, kernel_size);`
- argumenty:
  - `detected_edges`: Source image, grayscale
  - `detected_edges`: Output of the detector (can be the same as the input)
  - `lowThreshold`: The value entered by the user moving the Trackbar
  - `highThreshold`: Set in the program as three times the lower threshold (following Canny's recommendation)
  - `kernel_size`: We defined it to be 3 (the size of the Sobel kernel to be used internally)

### Python

```
Edges = cv.Canny(image, threshold1, threshold2[, edges[, apertureSize[, L2gradient]]])
Edges = cv.Canny(dx, dy, threshold1, threshold2[, edges[, L2gradient]])
```

### Java

```
cv.Canny(src, dst, 50, 100, 3, false);
```

## Laboratorium 3

### Zadanie 2.

Opracować algorytm i uruchomić funkcjonalność wykonywania podstawowych operacji morfologii matematycznej: erozji, dylacji, otwarcia i zamknięcia wykorzystując następujące elementy strukturalne 3x3 (tam gdzie możliwe jest rozróżnienie kształtu oddzielne dla krzyża i prostokąta).

### Zadanie 3

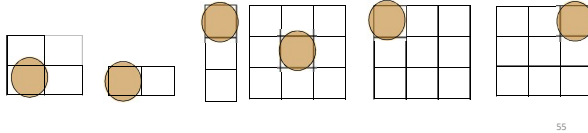
Opracować algorytm i uruchomić funkcjonalność wykonywania szkieletyzacji obiektu na mapie binarnej.

## Operacje morfologii matematycznej na obrazach

Operacje pozwalające na budowanie złożonych operacji, pozwalających na analizę kształtu i wzajemnego położenia obiektów.

Fundamentalne pojęcie: **element strukturalnym (strukturujący)**

- podzbiór obrazu z wyróżnionym punktem, zwany często punktem centralnym (niekoniecznie ciągły i symetryczny)



55

## Operacje morfologii matematycznej na obrazach

– w elemencie strukturalnym występują następujące symbole:

- 1 element wskazuje piksel zapalonej tzn. wartość obiektu w masce binarnej
- 0 element wskazuje piksel wytłumiony tzn. wartość tła w masce binarnej
- X element wskazuje dowolną wartość tzn. wartość tła lub obiektu w masce binarnej

Przekształcenia polegają na zmianie intensywności lub pozostawieniu intensywności punktu przykrytego przez punkt centralny elementu strukturalnego w zależności od spełnienia warunków logicznych.

**Operacje morfologiczne przekształcają tylko część punktów obrazu**

Morfologia matematyczna wymaga zdefiniowania konwencji zapisu obrazu binarnego:

- Biała kartka papieru
- Czarna tablica

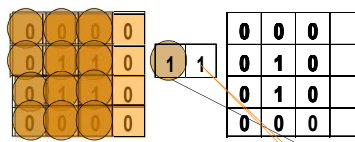
56

## Operacje morfologiczne

1. Element strukturalny jest przemieszczany po wszystkich punktach obrazu tak, że punkt centralny elementu strukturalnego jest nakładany na kolejne punkty w kolejnych wierszach,
2. W każdym położeniu elementu sprawdza się, czy rzeczywista konfiguracja punktów jest zgodna (koincydentna) ze wzorcem zawartym w elemencie strukturalnym zakodowanym symbolami 1, 0, X
3. W przypadku wykrycia zgodności jest wykonywana operacja związana z filtrem, a w przeciwnym przypadku wartość występująca w obrazie pierwotnym jest przechisywana.

57

## Operacje morfologiczne np. dla erozji



Jeśli punkt analizowanego otoczenia punktu centralnego jest wygaszony (równy wartości tła - 0) przy zapalonem (większym od tła - 1) elemencie centralnym, wynik zostaje wygaszany,

a w przeciwnym wypadku (tzn. punkt analizowanego otoczenia jest zapalony - 1) wygaszamy go

58

## Podstawowe operacje morfologii matematycznej

0-zgaszony; 1-zapalony; X-o dowolnej wartości.

- Eroża

$$q(i, j) = \min_{i_n, j_m \in B(i, j)} (p(i_n, j_m))$$

1	1	1
1	1	1
1	1	1

- Dylatacja (dylacja) dualna do erozji

$$q(i, j) = \max_{i_n, j_m \in B(i, j)} (p(i_n, j_m))$$

X	X	X
X	0	X
X	X	X

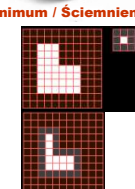
B(i,j) element strukturalny z punktem centralnym o współrzędnych (i,j)

Dylatacja jest operacją dualną do erozji i na odwrót

59

## Przykłady operacji erozji

Minimum / Ściemnienie



O małym (2x2)/dużym(6x6) kwadratowym elemencie strukturalnym



O wertykalnym/horyzontalnym elemencie strukturalnym

Praca dyplomowa Szymona Mireckiego

60

## OpenCV

```
erode()
GMat cv::gapi::erode (
    const GMat & src,
    const Mat & kernel,
    const Point & anchor = Point(-1,-1),
    int iterations = 1,
    int borderType = BORDER_CONSTANT,
    const Scalar & borderValue = morphologyDefaultBorderValue()
)
```

erode3x3()

## Przykłady operacji dylacji na obrazach w skali szarości



Praca dyplomowa Szymona Mireckiego

62

## OpenCV

```
dilate()
GMat cv::gapi::dilate(
    const GMat & src,
    const Mat & kernel,
    const Point & anchor = Point(-1,-1),
    int iterations = 1,
    int borderType = BORDER_CONSTANT,
    const Scalar & borderValue = morphologyDefaultBorderValue()
)
```

dilate3x3()

## Operacji erozji i dylacji działających na dowolnie zdefiniowanym elemencie centralnym

```
morphologyEx()
void cv::morphologyEx(
    InputArray src,
    OutputArray dst,
    int op,
    InputArray kernel,
    Point anchor = Point(-1,-1),
    int iterations = 1,
    int borderType = BORDER_CONSTANT,
    const Scalar & borderValue = morphologyDefaultBorderValue()
)
```

```
getStructuringElement()
Mat cv::getStructuringElement (
    int shape,
    Size ksize,
    Point anchor = Point(-1,-1)
)
```

Python:dst=cv.morphologyEx(src, op, kernel[, dst[, anchor[, iterations[, borderType[, borderValue]]]]])

Python:retval=cv.getStructuringElement(shape, ksize[, anchor])

```
enum cv::MorphShapes {
    cv::MORPH_RECT = 0,
    cv::MORPH_CROSS = 1,
    cv::MORPH_ELLIPSE = 2
}
```

shape of the structuring element [More...](#)

```
enum cv::MorphTypes {
    cv::MORPH_ERODE = 0,
    cv::MORPH_DILATE = 1,
    cv::MORPH_OPEN = 2,
    cv::MORPH_CLOSE = 3,
    cv::MORPH_GRADIENT = 4,
    cv::MORPH_TOPHAT = 5,
    cv::MORPH_BLACKHAT = 6,
    cv::MORPH_HITMISS = 7
}
```

type of morphological operation [More...](#)

## Typy operacji

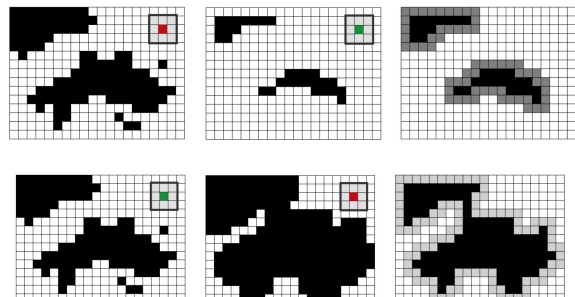
MORPH_ERODE	see <a href="#">erode</a>
MORPH_DILATE	see <a href="#">dilate</a>
MORPH_OPEN	an opening operation dst=open(src,element)=dilate(erode(src,element))
MORPH_CLOSE	a closing operation dst=close(src,element)=erode(dilate(src,element))
MORPH_GRADIENT	a morphological gradient dst=morph_grad(src,element)=dilate(src,element)-erode(src,element)
MORPH_TOPHAT	"top hat" dst=tophat(src,element)=src-open(src,element)
MORPH_BLACKHAT	"black hat" dst=blackhat(src,element)=close(src,element)-src
MORPH_HITMISS	"hit or miss" - Only supported for CV_8UC1 binary images. A tutorial can be found in the documentation

## Inne operacje morfologii matematycznej

- Otwarcie (=Erozja+Dylacja)
- Zamknięcie[domkniecie](=Dylacja+Erozja)
- Detekcja ekstremów Top Hat (=Zamknięcie-Obraz=Obraz-Otwarcie)
- Gradient morfologiczny (= Otwarcie+Zamknięcie)
- Wygładzanie morfologiczne (=Dylacja-Erozja)
- Pocienianie
- Pogrubianie
- Szkieletyzacja (znalezienie szkieletu czyli punktów obiektu równoodległych od jej brzegów)
- Odcinanie gałęzi (artefaktów z neregularnością obiektów szkieletyzowanych)
- Detekcja centroidów (punktów centralnych obiektu)
- Dylatacja bez styków (SKIZ ang. Skeleton by influence zone)
- Erozja warunkowa
- Rekonstrukcja (wygładzanie obszru, czyszczenie brzegów, zalewanie dziur)
- Automediana

67

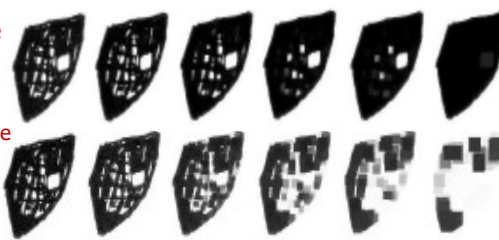
## Otwarcie i zamknięcie



Odwrócona mapa – nie pokazywać

## Operacje otwarcia i zamknięcia na obrazach szarościenniowych

Otwarcie



Zamknięcie



Element strukturalny: 3x3 5x5 9x9 13x13 21x21

Komplementarność operacji

Praca dyplomowa Szymona Mireckiego

69

## Operacje morfologiczne w projektach

- Operacje erozji i dylacji działających na dowolnie zdefiniowanym elemencie centralnym
- Operacje erozji warunkowej i dylacji warunkowej
- Rekonstrukcja morfologiczne przez erozję/dylację
- Operacji wyliczenia transformaty odległościowej
- Ekstrakcja linii pionowych i poziomych za pomocą operacji morfologicznych
- Otoczenia wypukłe

Działamy na obrazach binarnych chyba że ktoś sam rozszerzy na obrazy monochromatyczne w szarych odcieniach

## Operacje erozji warunkowej i dylacji warunkowej

- **warunek erozji** – obiekt nie może zniknąć; Jeśli erozja prowadzi do zniknięcia obiektu to jej wynikiem jest obraz wejściowy.
  - **warunek dylacji** - obiekt nie może połączyć się z innym obiektem; Jeśli dylacja prowadzi do połączenia z innym obiektem to wynikiem dylacji jest obraz wejściowy
- Konieczność śledzenia liczby obiektów w poszczególnych etapach realizacji operacji

## Operacji wyliczenia euklidesowej transformaty odległościowej



Obraz transformaty odległościowej obiektu, to obraz, w którym każdy piksel zawiera odległość euklidesową do najbliższego piksela brzegu obiektu

Wykonywać kolejne erozje obiektu, aż do jego zniknięcia, zapisując różnicę między obrazem wejściowym i wyjściowym dla każdego etapu. Rozliczyć poziomy jasności na kolejne etapy i wygenerować obraz wynikowy

### Top Hat

Zamknięcie - Obraz = Obraz - Otwarcie

White Top Hat      Black Top Hat

`cv::MORPH_TOPHAT = 5,`

73

### Rekonstrukcja przez otwarcie

Otwarcie (maska)      Rekonstrukcja przez otwarcie

Rekonstrukcja polega na cyklicznym dokonywaniu dylatacji maski i wyznaczaniu części wspólnej z obrazu uzyskanego po dylataci i obrazu wyjściowego przekształcenia (wykonuje się operację logiczną AND z obrazem wyjściowym. W ten sposób usuwa się te fragmenty, które zostały dodane podczas dylatacji a faktycznie będące poza odtwarzaną figurą).

74

### Ekstrakcja linii pionowych i poziomych za pomocą operacji morfologicznych

Operacje morfologiczne do detekcji pionowych i poziomych linii powinny mieć dobrane odpowiednie elementy strukturalne umożliwiające erozję i dylację pozwalającą wyodrębnić takie linie:

1	x	x
1	x	1
1	1	x

x	1	x
1	x	0
x	1	x

### Otoczenie wypukłe

Wypukłe otoczenie figury to najmniejsza figura wypukłą zawierającą daną figurę.

1	x	x
1	x	1
1	1	x

x	1	x
1	x	0
x	1	x

### Algorytmy szkieletyzacji

Umożliwiają upraszczanie obiektów na obrazach prowadząc do zastąpienia obiektu jego szkieletem, który odzwierciedla podstawowe topologiczne własności obiektów.

Jego analiza może zostać wykorzystana do:

- klasifikacji figur ze względu na kształt,
- wyznaczania orientacji figur podłużnych,
- określania linii środkowej szerszych linii,
- rozdzielanie złączonych obiektów.

Ścienianie jest potrzebne, aby odtworzyć liniową strukturę obrazu wejściowego nie niszcząc jego spójności.

**Matematyczna definicja szkieletu obiektu na płaszczyźnie ciąglej:**

**DEFINICJA 1:** Niech  $R$  będzie zbiorem punktów na płaszczyźnie. B jego brzegiem, a  $P$  punktem należącym do  $R$ . Najbliższym sąsiadem punktu  $P$  na brzegu  $B$  jest punkt  $M$  należący do  $B$  taki, że nie istnieje żaden punkt należący do  $B$ , którego odległość od punktu  $P$  jest mniejsza od odległości  $PM$ . Jeżeli punkt  $P$  ma więcej niż jednego najbliższego sąsiada, to  $P$  nazywany punktem szkieletozym zbiorem  $R$ . Zbiór wszystkich punktów szkieletoycznych jest szkieletem lub osią środkową zbioru  $R$ .

### Szkielety figury, to zbiór wszystkich punktów równoodległych od co najmniej dwóch brzegów

**DEFINICJA 2.**  
Szkieletem zbioru  $R$  elementów obrazu cyfrowego jest zbiór wyznaczony w następujący sposób.  
W zbiорze  $R$  określa się:  
 - potencjalnie szkieletoyczne (otoczone punktami obiektu) lub szkieletowe (stanowiące krzywą lub prostą ciągnącą się w dowolnym kierunku) oraz  
 - konturowe (w otoczeniu jest poziom jasności tła „0”) elementy obrazu.

Następnie usuwa się wszystkie konturowe elementy obrazu, które nie są szkieletozymi i z tak otrzymanym zbiorem R rekurencyjnie powtarzamy procedurę aż do uzyskania zbioru zawierającego jedynie szkieletoyczne elementy obrazu.

Rys. 4. Wynik klasycznego algorytmu ścienienia. Usunięte elementy obrazu oznaczone przez „0”

Wyznaczanie szkieletu binarnego polega na wielokrotnym stosowaniu (często naprzemiennych, z różnymi elementami strukturalnymi) operacji pocieniania – do momentu, aż kolejne operacje nie wpływają na wygląd obrazu wynikowego. W tym celu można stosować różne zestawy elementów strukturalnych. Przykładem adekwatnego zestawu jest 8 elementów otrzymanych w wyniku obrotów następujących elementów strukturalnych:

$$\begin{bmatrix} 0 & 0 & 0 \\ z & 1 & z \\ 1 & 1 & 1 \end{bmatrix} \text{ oraz } \begin{bmatrix} z & 0 & 0 \\ 1 & 1 & 0 \\ z & 1 & z \end{bmatrix} \text{ o kąty } 0^\circ, 90^\circ, 180^\circ \text{ i } 270^\circ.$$

**Algorytm 1** (klasyczny algorytm „ścierania”):

Oznaczenie i oznacza obraz wejściowy. P oznacza zbiór wzorców sąsiedztwa szkieletowych elementów obrazu wraz z obróconym o  $90^\circ$  pierwszym wzorcem i obróconym o  $90^\circ$ ,  $180^\circ$  i  $270^\circ$  drugim wzorcem. Znacznik *remain* z wartością *true* wskazuje, że nieszkieletowe elementy obrazu mogą pozostać. Znacznik *skel* z wartością *true* wskazuje, że sąsiedztwo elementu obrazu odpowiada jednemu ze wzorców zbioru P. Jedyńka/zero we wzorcu odpowiada niezerowemu/zerowemu elementowi w sąsiedztwie.

1. Podstaw *true* jako wartość znacznika *remain*.

2. While *remain* = *true* do krok 3-12.

    Begin

        4. For *j* = 0,2,4 i do krok 5-12.

            Begin

                5. For dla wszystkich elementów p obrazu I do krok 6-10.

                    Begin

                        6. If *p* = 1 and if jego j-sąsiad = 0 then do krok 7-10.

                            Begin

                                7. Podstaw *false* jako wartość znacznika *skel*.

                                8. For wszystkich wzorców P do krok 9.

                                    Begin

  9. If sąsiedztwo *p* odpowiada wzorcowi P then podstaw *true* jako wartość *skel*. I wyjdź z pętli

                                    End.

                                    End.

                                11. For wszystkich elementów p obrazu I do krok 12.

                                    Begin

  12. If *p* = 3, then podstaw jako *p* wartość 0.

                                    End.

                                    End.

                                13. Koniec algorytmu.



$0^\circ, 90^\circ, 180^\circ$  i  $270^\circ$

a)	
b)	

Rys. 3. Wzorce sąsiedztwa powtarzalnych elementów obrazu. a) Co najmniej jeden z każdej grupy elementów obrazu oznaczonych przez A lub B musi być niezerowy. b) Co najmniej jeden z elementów obrazu oznaczony przez C musi być niezerowy. Jeżeli obydwa elementy obrazu oznaczone przez C są niezerowe, to wartości elementów obrazu oznaczonych przez A i B mogą być dowolne. W przeciwnym przypadku co najmniej jeden z elementów każdej pary oznaczonej przez A lub B musi być niezerowy

**Mini-projekty egzaminacyjne**

Tytuł projektu dla APOZ 2025/2026

- | nr. | Opis zadania   |
|-----|--|
| 1   | Udoskonalenie oprogramowania przygotowanego na zajęciach przez dołączanie oprogramowania do segmentacji obiektów na podstawie wskazanego na wszystkich kanałach zakresu intensywności oraz liczenia wysegmentowanych obiektów z powstalej mapy binarnej. |
| 2   | Udoskonalenie oprogramowania przygotowanego na zajęciach przez implementację funkcji detekcja całej twarzy i oczu za pomocą kaskadowego klasyfikatora opartego na cechach Haara  |
| 3   | Udoskonalenie oprogramowania przygotowanego na zajęciach przez: doliczenie operacji erozji i dyfuzji działających na dowolnie zdefiniowanym elemencie strukturyującym – proszę zaprojektować i wykonać edytora elementu strukturyjącego.                 |
| 4   | Udoskonalenie oprogramowania przygotowanego na zajęciach przez przygotowanie funkcji liczenia FFT i iFFT oraz edytora manipulacji widmem amplitudowym.   |
| 5   | Segmentacja obrazu monochromatycznego/binarnego zawierającego nuty i rozpoznanie nut.  |
| 6   | Program prezentacji zasad przebiegu procesu wprowadzania i korekcji znieksztalciceli radiometrycznych z wykorzystaniem obrazów szaro odciennych oraz ich fragmentów w postaci obrazowej a także tablic liczb.  |
| 7   | Udoskonalenie oprogramowania przygotowanego na zajęciach przez przygotowanie funkcji wyznaczającej kontur obiektu w binarnym obrazie: porównanie rozwiązań opartych na metodach morfologii matematycznej i konwolucyjnych operacji konturowania.         |
| 8   | Udoskonalenie oprogramowania przygotowanego na zajęciach przez przygotowanie funkcji zmieniającej obraz według przekształcenia opisanego przemieszczeniem trzech nie współliniowych punktów.   |
| 9   | Udoskonalenie oprogramowania przygotowanego na zajęciach przez przygotowanie funkcji przyciąga (kadrowanie) obrazu według prostokąta niekoniecznie równoległego do osi X i Y wyznaczonego odpowiednim narzędziem wskazywanie położenia.                  |
| 10  | Przeniesienie oprogramowania stworzonego na zajęciach tak, aby działał dla systemu operacyjnego iOS.   |

11	Oprogramowanie do wykonywania transformaty Hough'a
12	Oprogramowanie do nakładania znieksztalciceli geometrycznych na obrazy monochromatyczne i edytora dobrania funkcji korygujących takie znieksztalcenie.
13	Udoskonalenie oprogramowania przygotowanego na zajęciach przez: doliczenie operacji wyliczenia transformaty odległościowej dla obrazu binarnego oraz implementację rozdzielania obiektów dotykających się z wykorzystaniem tej transformaty.
14	Segmentacja obrazu monochromatycznego/binarnego zawierającego znaki specjalne i symbole oraz wyszukiwanie znaków o kształtach określonych np.: ☺, *, ♡, ♪, ☰, itp..
15	Segmentacja z obrazów monochromatycznych/binarnych zawierających wybrane 5 typów symboli o różnym rozmiarze, ich rozpoznanie metodami klasycznymi lub opartymi o sieci neuronowe.
16	Segmentacja obrazów z wykorzystaniem klasteryzacji szarych odcienni.
17	Udoskonalenie oprogramowania przygotowanego na zajęciach przez implementację programowania obrazu prawdopodobieństwa przypasowania do zadanej tekstu.
18	Udoskonalenie oprogramowania przygotowanego na zajęciach przez implementację nowego narzędzia do tworzenia panoramy na postacie serii zdjęć.
19	Implementacja linii profili i wycinanie nie będących prostokątem fragmentów z istniejących obrazów monochromatycznych.
20	Udoskonalenie oprogramowania przygotowanego na zajęciach przez wykonanie narzędzia do ekstrakcji linii pionowych i poziomych za pomocą operacji morfologicznych.
21	Udoskonalenie oprogramowania przygotowanego na zajęciach przez przygotowanie funkcji wykonywania wyrównywania histogramu obrazu kolorowego zapisanego w wykorzystaniem modelu L*a*b*.
22	Udoskonalenie oprogramowania przygotowanego na zajęciach przez: -implementacja operacji filtracji logicznych na obrazach binarnych; -rozwiniecie możliwości wyświetlania i zapisywania jako obraz fragmentów obrazu powstały na podstawie wskazanych, niekoniecznie spójnych, fragmentów histogramu.

23	Segmentacja obrazu monochromatycznego/binarnego zawierającego drobne obiekty metalowe o różnych kształtach zarejestrowane na taśmie produkcyjnej przez kamerę monochromatyczną.
24	Program prezentacji sposobu działania metody o-NN ( $\alpha$ najbliższych sąsiadów) z wizualizacją przestrzeni cech przed i po fazie uczenia.
25	Udoskonalenie oprogramowania przygotowanego na zajęciach przez implementację operacji przenikania dwóch obrazów monochromatycznych.
26	Udoskonalenie oprogramowania przygotowanego na zajęciach przez wykonywanie narzędzi do rozciagania i zawiązywania histogramów z możliwym zastosowaniem funkcji liniowej lub funkcji gamma (analogicznie jak w Corelu PhotoPaint-cie).
27	Udoskonalenie oprogramowania przygotowanego na zajęciach przez doliczenie operacji otoczek wypuklej obiektu – operacji morfologicznych.
28	Segmentacja obrazu monochromatycznego/binarnego zawierającego znaki specjalne i symbole oraz wyszukiwanie znaków o kształtach określonych np.: ☺, *, ♡, ♪, ☰, itp..
29	Udoskonalenie oprogramowania przygotowanego na zajęciach przez doliczenie operacji tworzenia histogramu dwuwymiarowego z obrazu monochromatycznego i jego matematycznego przekształcania. Implementacja narzędzia do segmentacji na podstawie histogramu dwuwymiarowego.
30	Udoskonalenie oprogramowania przygotowanego na zajęciach przez: zaimplementowanie operacji rekonstrukcji morfologicznej.
31	Udoskonalenie oprogramowania przygotowanego na zajęciach przez doliczenie operacji zmniejszania udziału szumu przez średniania kilku obrazów zebranych w takich samych warunkach oraz operacji logicznych na zasumionych obrazach binarnych.

## Pomoc - przykłady

- [https://docs.opencv.org/3.4/dc/dd3/tutorial\\_gaussian\\_median\\_blur\\_bilateral\\_filter.html](https://docs.opencv.org/3.4/dc/dd3/tutorial_gaussian_median_blur_bilateral_filter.html)
- [https://docs.opencv.org/3.4/db/d8e/tutorial\\_threshold.html](https://docs.opencv.org/3.4/db/d8e/tutorial_threshold.html)
- [https://docs.opencv.org/3.4/d4/dbd/tutorial\\_filter\\_2d.html](https://docs.opencv.org/3.4/d4/dbd/tutorial_filter_2d.html)
- [https://docs.opencv.org/3.4/d2/d2c/tutorial\\_sobel\\_derivatives.html](https://docs.opencv.org/3.4/d2/d2c/tutorial_sobel_derivatives.html)
- [https://docs.opencv.org/3.4/d5/db5/tutorial\\_laplace\\_operator.html](https://docs.opencv.org/3.4/d5/db5/tutorial_laplace_operator.html)
- [https://docs.opencv.org/3.4/da/d5c/tutorial\\_canny\\_detector.html](https://docs.opencv.org/3.4/da/d5c/tutorial_canny_detector.html)

## Materiał:

- Materiały wykładowe POBD zeszłego roku na UBIKu
- T.Pavlidis, Grafika i Przetwarzanie Obrazów, WNT Warszawa 1987.
- I.Pitas, Digital image processing, algorithms and applications, John Wiley & Sons, Inc. 2000, (UBI w katalogu \APOD\Pitas).